

4.4. Спектральный анализ простейших колебаний.

1) Прямоугольный импульс $s(t) = \begin{cases} 1, & |t| \leq \tau/2 \\ 0, & |t| > \tau/2 \end{cases}$

$$S(\omega) = \int_{-\tau/2}^{\tau/2} e^{-j\omega t} dt = \frac{e^{-j\omega \frac{\tau}{2}} - e^{+j\omega \frac{\tau}{2}}}{-j\omega} = \frac{2}{\omega} \sin \frac{\omega\tau}{2} = \tau \frac{\sin \frac{\omega\tau}{2}}{\frac{\omega\tau}{2}}$$

Спектральная плотность одиночного импульса совпадает с огибающей спектральных линий периодической последовательности таких же импульсов. Если увеличивать период повторения последовательности, то форма огибающей сохраняется, но спектральные линии располагаются все гуще, а их амплитуда уменьшается. В пределе, когда период $T \rightarrow \infty$, дискретный спектр переходит в непрерывный. Спектральная плотность $S(\omega)$ с ростом ω убывает как $1/\omega$ (но не монотонно), это связано с наличием скачков в $s(t)$. Чем более гладкая $s(t)$, тем выше степень убывания $S(\omega)$ при $\omega \rightarrow \infty$: закономерность здесь такая же, как для коэффициентов ряда Фурье.

Для произвольного колебания $S(0) = \int_{-\infty}^{\infty} s(t)dt$ - площадь импульса

Для прямоугольного импульса $S(0) = \tau$

$S(\omega)$ обращается в нуль на частотах $\omega = 2n\pi/\tau$, $n = \pm 1, \pm 2 \dots$

Замечание: Отрицательные частоты ω рассматриваются как переменная в $S(\omega)$. Если же иметь в виду число колебаний (или радиан) в секунду, то здесь f и ω — только положительные величины.

$\frac{1}{2\pi} \int_{-2\pi/\tau}^{2\pi/\tau} |S|^2 d\omega$ - Энергия импульса в полосе частот $-2\pi/\tau \leq \omega \leq +2\pi/\tau$ содержит более 90% всей энергии импульса.

$2\pi/\tau = \Delta\omega = 2\pi F$ - условно считаем шириной спектра импульса.

Чем короче импульс, тем шире его спектр частот:

$$F = 1/\tau$$

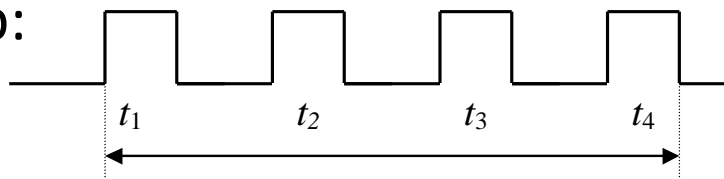
Для любого колебания $FT \geq C$

T - длительность колебания (с), F - ширина его спектра частот (Гц),
 C - константа, точное значение которой зависит от того, как условиться отсчитывать T и F .

$s(t)$ и $S(\omega)$ не могут одновременно быть финитными функциями, т.е. обращаться в нуль вне конечного интервала t и ω .

Сверху произведение FT принципиально ничем не ограничено, оно может быть сколь угодно больше C .

Пример:



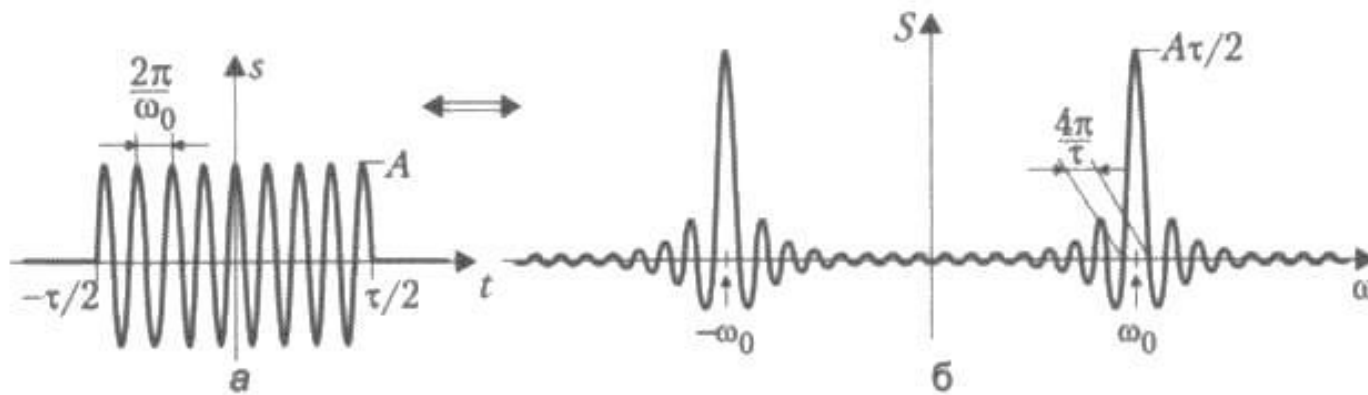
пачка одинаковых импульсов

Сумма одиночных импульсов с разными задержками во времени (t_1, t_2, \dots). $s(t - \tau) \div S(\omega) \cdot e^{-j\omega\tau} \rightarrow S_n = S(\omega) \sum_{k=1}^n e^{-j\omega t_k}$

Огибающая спектральной плотности имеет такую же протяженность, как для одиночного импульса. В то же время длительность всей пачки может быть $T \gg \tau$.

Если импульсы не перекрываются, огибающая спектральной плотности имеет такую же протяженность, как для одиночного импульса. Длительность всей пачки может быть $T \gg \tau$.

2) Радиоимпульс с прямоугольной огибающей



$$1/f_0 \ll \tau$$

$s_1(t) = s(t) \cdot \cos(\omega_0 t)$, где $s(t)$ — импульс из предыдущего примера (прямоугольный импульс).

$\omega_0 = 2\pi f_0$ - несущая частота.

$$s_1(t) = s(t) \cdot \cos(\omega_0 t) = s(t) \cdot \frac{e^{j\omega_0 t} + e^{-j\omega_0 t}}{2} \div \frac{1}{2} S(\omega - \omega_0) + \frac{1}{2} S(\omega + \omega_0)$$

$$\cos \omega_0 t = \frac{e^{j\omega_0 t} + e^{-j\omega_0 t}}{2} \quad \text{СВОЙСТВО 6 : } s(t) \cdot e^{-j\omega_0 t} \div S(\omega + \omega_0)$$

$$S_1(\omega) = \frac{1}{2} S(\omega - \omega_0) + \frac{1}{2} S(\omega + \omega_0)$$

Спектр сдвинут на величину ω_0 по оси частот. Его существенная часть расположена в области ВЧ и занимает полосу $2F$, т.е. вдвое более широкую, чем у видеоимпульса.

Слагаемые в $S_1(\omega)$ не перекрываются и структура спектра радиоимпульса в окрестности ω_0 такая же, как у огибающей прямоугольного импульса в окрестности $\omega = 0$.

3) Треугольный импульс: $s_2(t) = \begin{cases} 1 - |t/\tau|, & |t| \leq \tau \\ 0, & |t| > \tau \end{cases}$

Функция четная \rightarrow

$$S_2(\omega) = 2 \int_0^{\tau} \left(1 - \frac{t}{\tau}\right) \cos \omega t dt = 2 \left(1 - \frac{t}{\tau}\right) \frac{\sin \omega t}{\omega} \Big|_0^{\tau} + 2 \int_0^{\tau} \frac{\sin \omega t}{\omega} \frac{dt}{\tau} = 2 \frac{1 - \cos \omega \tau}{\omega^2 \tau} = \tau \frac{\sin^2 \frac{\omega \tau}{2}}{\left(\frac{\omega \tau}{2}\right)^2}$$

$S_2(\omega)$ убывает на ∞ как $1/\omega^2$, поскольку $s_2(t)$ не имеет скачков.

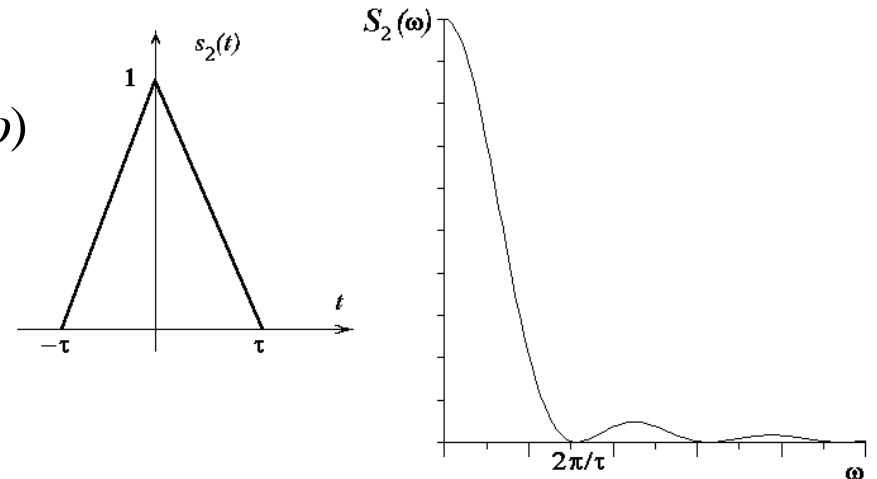
Вспоминаем спектр прямоугольного импульса: $S(\omega) = \tau \frac{\sin \frac{\omega \tau}{2}}{\frac{\omega \tau}{2}} \rightarrow$

$$S_2(\omega) = \frac{1}{\tau} S(\omega) \cdot S(\omega) \rightarrow \text{Свойство 8}$$

$$s_1(t) * s_2(t) = \int_{-\infty}^{\infty} s_1(\tau) s_2(t - \tau) d\tau \div S_1(\omega) \cdot S_2(\omega)$$

$$s_2(t) = [s(t) * s(t)] \frac{1}{\tau}$$

$s_2(t)$ является сверткой двух прямоугольных импульсов

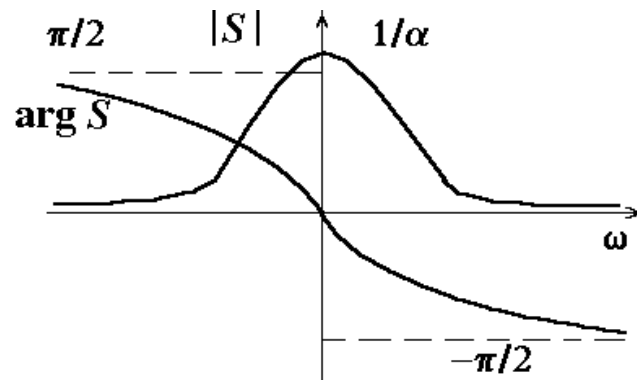
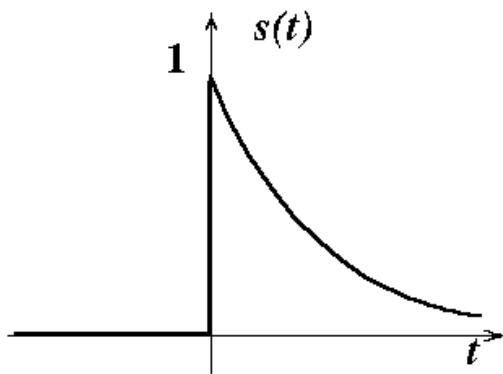


4) Экспоненциальный импульс: $s(t) = \begin{cases} 0, & t < 0 \\ e^{-\alpha t}, & t \geq 0 \end{cases}$

Спектральная плотность:

$$S(\omega) = \int_0^{\infty} e^{-(\alpha + j\omega)t} dt = -\frac{1}{\alpha + j\omega} \cdot e^{-(\alpha + j\omega)t} \Big|_0^{\infty} = \frac{1}{\alpha + j\omega}$$

$$|S(\omega)| = \frac{1}{\sqrt{\alpha^2 + \omega^2}}, \quad \arg S = -\operatorname{arctg} \frac{\omega}{\alpha}$$



Форма зависимости $S(\omega)$ как у АЧХ резонансного контура (лоренцева кривая), причем $S \approx 1/\omega$ при $\omega \rightarrow \infty$.

Чем больше α , т. е. короче импульс, тем шире его спектр.

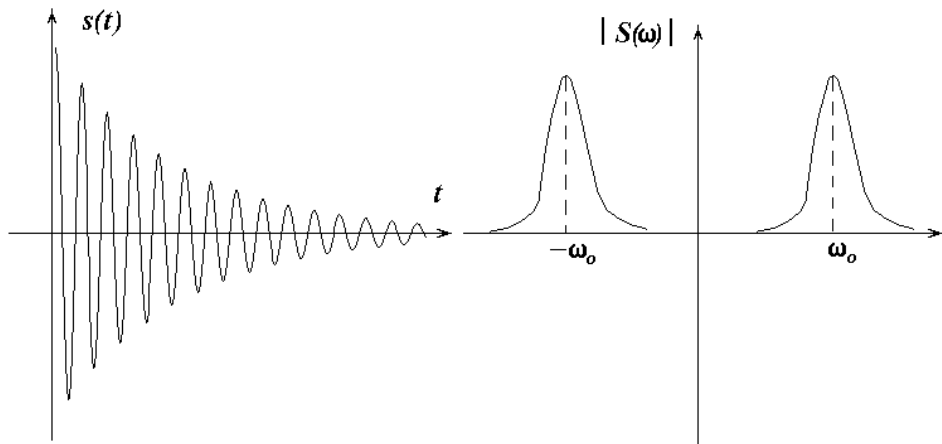
5) Затухающая синусоида: $s(t) = \begin{cases} 0, & t < 0 \\ e^{-\alpha t} \cos \omega_0 t, & t \geq 0 \end{cases}$

При $t \geq 0$:

$$s(t) = e^{-\alpha t} \cos \omega_0 t = e^{-\alpha t} \cdot \frac{e^{j\omega_0 t} + e^{-j\omega_0 t}}{2} = \frac{1}{2} e^{-(\alpha - j\omega_0)t} + \frac{1}{2} e^{-(\alpha + j\omega_0)t}$$

Спектральная плотность:

$$S(\omega) = \frac{1}{2} \int_0^{\infty} \left(e^{-(\alpha - j\omega_0 + j\omega)t} + e^{-(\alpha + j\omega_0 + j\omega)t} \right) dt = \frac{1/2}{\alpha + j(\omega - \omega_0)} + \frac{1/2}{\alpha + j(\omega + \omega_0)}$$



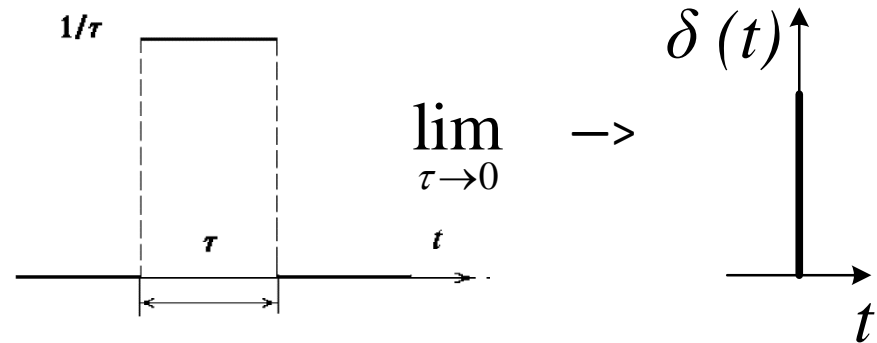
Спектр сосредоточен вблизи частоты ω_0 . Если $\alpha \ll \omega_0 \rightarrow$ относительная ширина спектра мала: $\Delta\omega/\omega \ll 1 \rightarrow$ имеем квазигармоническое колебание.

4.5. Дельта-функция.

Рассмотрим последовательность импульсных функций $\delta_\tau(t)$, таких, что длительность τ уменьшается, а амплитуда увеличивается, причем площадь остается все время равной 1:

$$\int_{-\infty}^{\infty} \delta_\tau(t) dt = 1$$

импульс сосредоточен
вблизи $t=0$



При $\tau \rightarrow 0$ последовательность $\delta_\tau(t)$ не имеет предела в классе обычных функций. Однако для всякой непрерывной и ограниченной функции $f(t)$ существует предел интеграла

$$\lim_{\tau \rightarrow 0} \int_{-\infty}^{\infty} f(t) \delta_\tau(t) dt = f(0) \int_{-\infty}^{\infty} \delta_\tau(t) dt = f(0)$$

Предельный случай записывают в виде $\int_{-\infty}^{\infty} f(t) \delta(t) dt = f(0)$

Определение δ -функции
$$\int_{-\infty}^{\infty} f(t)\delta(t-t_0)dt = \int_{-\infty}^{\infty} f(t'+t_0)\delta(t')dt' = f(t_0) \quad (*)$$

Дельта-функция имеет смысл лишь под знаком интеграла, который считается равным значению множителя при δ в той точке, где аргумент δ -функции обращается в нуль.

Сам символ $\delta(t)$ можно понимать как импульсную функцию $\delta_\tau(t)$, длительность которой настолько мала, что для всех функций $f(t)$, которые мы рассматриваем, выполняется равенство (*), и дальнейшее укорочение импульса $\delta_\tau(t)$ и изменение его формы уже не влияет на результат интегрирования.

Реакция системы на очень кратковременное воздействие (длительность которого много меньше времени реакции системы) — это свободное колебание, его форма не зависит от формы импульсного воздействия, а размах определяется лишь интегралом (площадью импульса).

Преобразование Фурье от δ -функции: $\int_{-\infty}^{\infty} \delta(t - t_0) e^{-j\omega t} dt = e^{-j\omega t_0}$

(на основании определения δ -функции)

$|e^{-j\omega t_0}| = 1 \rightarrow$ δ -функция имеет равномерную по модулю плотность спектра вдоль всей оси ω .

Формально $\delta(t - t_0) \div e^{-j\omega t_0}$

Обратное преобразование Фурье приводит к расходящемуся интегралу и смысла не имеет:

$$\frac{1}{2\pi} \int_{-\infty}^{\infty} e^{-j\omega t_0} e^{j\omega t} d\omega = \frac{1}{2\pi} \int_{-\infty}^{\infty} e^{j\omega(t-t_0)} d\omega = \frac{1}{2\pi} \cdot \frac{e^{j\omega(t-t_0)}}{j(t-t_0)} \Bigg|_{\omega \rightarrow -\infty}^{\omega \rightarrow +\infty} = \infty$$

б) Косинусоидальное колебание:

$$\cos \omega_0 t = \frac{e^{+j\omega_0 t}}{2} + \frac{e^{-j\omega_0 t}}{2} = \dots \quad e^{+j\omega_0 t} = \int_{-\infty}^{\infty} \delta(\omega - \omega_0) e^{j\omega t} d\omega$$

$$\dots = \frac{1}{2\pi} \int_{-\infty}^{\infty} [\pi\delta(\omega - \omega_0) + \pi\delta(\omega + \omega_0)] e^{j\omega t} d\omega$$

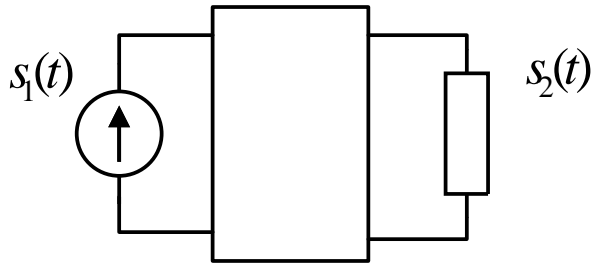
$$s(t) = \frac{1}{2\pi} \int_{-\infty}^{\infty} S(\omega) e^{j\omega t} d\omega \quad - \text{ обратное преобразование Фурье}$$

Спектральная плотность: $S(\omega) = \pi\delta(\omega - \omega_0) + \pi\delta(\omega + \omega_0)$

$$\cos \omega_0 t \div \pi\delta(\omega - \omega_0) + \pi\delta(\omega + \omega_0)$$

δ -функцию можно использовать для представления спектральной плотности колебаний, имеющих дискретный спектр.

4.6. Спектральный метод анализа цепей.



$s_1(t)$ - внешнее воздействие на цепь.
Требуется найти вызываемое им колебание $s_2(t)$ в какой-либо ветви.

$s_1(t)$ представимо интегралом Фурье
$$s_1(t) = \frac{1}{2\pi} \int_{-\infty}^{\infty} S_1(\omega) e^{j\omega t} d\omega \quad (*)$$

$S_1(\omega)$ — спектральная плотность.

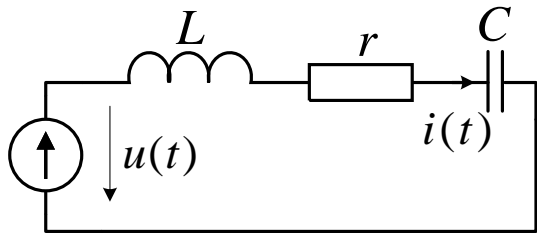
Рассматривая интеграл (*) как предельный случай суммы и учитывая, что цепь линейная, можем применить принцип суперпозиции. Надо рассмотреть действие на цепь колебания $S_1(\omega) e^{j\omega t}$. Согласно методу комплексных амплитуд (КА) реакция $s_2(t)$ на такое колебание будет $K(j\omega) S_1(\omega) e^{j\omega t}$, где $K(j\omega)$ — комплексный коэффициент передачи цепи (передаточная функция).

Суммируем действие всех составляющих $s_1(t)$:

$$s_2(t) = \frac{1}{2\pi} \int_{-\infty}^{\infty} K(j\omega)S_1(\omega)e^{j\omega t} d\omega = \frac{1}{2\pi} \int_{-\infty}^{\infty} S_2(\omega)e^{j\omega t} d\omega$$

спектральные плотности входного и выходного колебаний связаны соотношением $S_2(\omega) = K(j\omega)S_1(\omega)$

Второй способ определения $S_2(\omega)$: а) Составляем дифф. уравнения цепи и б) подвергаем их прямому преобразованию Фурье. Для этого каждое уравнение умножаем на $e^{-j\omega t}$ и в) интегрируем по t от $-\infty$ до $+\infty$. Получаем уравнения для Фурье-образов.



$$u(t) = Ri + L \frac{di}{dt} + \frac{1}{C} \int idt$$

Используем:

$$\frac{ds}{dt} \div j\omega S(\omega)$$

$$\int_{-\infty}^t s(t')dt' \div \frac{S(\omega)}{j\omega}$$

$$\rightarrow U(\omega) = \left(R + j\omega L + \frac{1}{j\omega C} \right) I(\omega)$$

Полученное уравнение совпадает с уравнением для КА в режиме гармонических колебаний.

Расчет цепи спектральным методом сводится к следующему:

1) Определяем Фурье-образ (спектральную плотность) входного воздействия $S_1(\omega)$.

2) Рассчитываем режим гармонических колебаний в цепи методом КА (частота колебаний ω рассматривается как переменная величина) и находим коэффициент передачи $K(j\omega)$ как отношение КА выходного и входного колебаний.

3) Находим Фурье-образ выходного колебания $S_2(\omega) = S_1(\omega) K(j\omega)$, а затем само колебание $s_2(t)$ путем обратного преобразования Фурье.

Если $s_1(t)$ имеет дискретный спектр, то такое колебание разлагается не в интеграл, а в сумму гармоник (например, в ряд Фурье, если колебание периодическое). В таком же виде представляется и искомое колебание $s_2(t)$.